

ОСОБЕННОСТИ НАБЛЮДАЕМОСТИ МЕХАНИЧЕСКИХ КОЛЕБАТЕЛЬНЫХ СИСТЕМ

Рассмотрены особенности механических колебательных систем при соотношении точек наблюдения за состоянием и их сопоставлении с точками управления (точек приложения внутренних динамических реакций).

Ключевые слова: динамика, виброзащита, колебания, парциальные частоты.

При изучении динамических свойств виброзащитных систем (ВЗС) одним из важных аспектов, определяющих возможности идентификации структуры системы, становится определение структуры моделей (число степеней свободы и характер динамического взаимодействия элементов) и параметров состояния. В связи с этим определенный интерес представляет выбор системы соотнесения точек наблюдения за состоянием и точек управления (точек приложения внутренних динамических реакций) [1, 2].

I. Рассмотрим систему с одной степенью свободы, в которой положение массы m (рис. 1) в системе координат $0, y, x$ определяется через y .

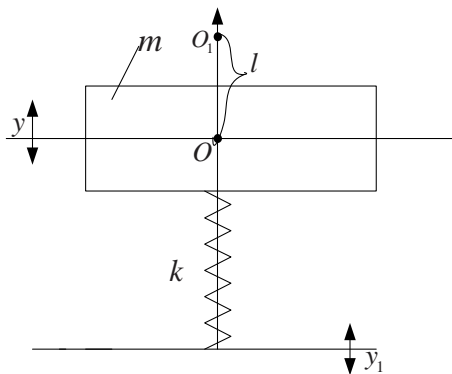


Рис. 1. Расчетная схема одномерной ВЗС с одной степенью свободы

Так как кинетическая энергия системы определяется

$$T = \frac{1}{2} m \dot{y}^2,$$

а потенциальная энергия, соответственно,

$$\Pi = \frac{1}{2} k (y - y_1)^2,$$

(где y_1 - смещение основания), то дифференциальное уравнение движения имеет вид

$$m \ddot{y} + ky = k_1 y_1.$$

В соответствии с упомянутыми выше соображениями будем полагать, что точка наблюдения будет смещена из точки O (рис. 1) на величину l в точку O_1 . Тогда, относительно исходной позиции, в которой предполагается совпадение точек наблюдения и приложения внутреннего динамического усилия (можно считать последнее в зада-

че виброзащиты управляющей силой простейшего вида [1]), можно принять, что

$$y_2 = y + l, \dot{y}_2 = \dot{y},$$

а уравнение (2.144) запишется

$$m \ddot{y}_2 + k y_2 = k y_1 + k l = k (y_1 + l). \quad (1)$$

Из приведенного следует, что введение координат наблюдения y_2 не изменяет значений частоты собственных колебаний, но приводит к виртуальному изменению внешнего возмущения (в данном случае кинематического). В правой части уравнения (1) появляется постоянный член kl . Физически это означает переход к новым координатам наблюдения, что сводится к необходимости учета в наблюдаемом смысле виртуального смещения на величину l .

II. Если расчетная схема ВЗС имеет вид колебательной системы в виде подпружиненного безынерционного стержня (рис. 2), то кинетическая и потенциальная энергии могут быть записаны, соответственно,

$$T = \frac{1}{2} m \dot{y}^2,$$

$$\Pi = \frac{1}{2} k y^2,$$

если $y_1 = 0$, то при отсутствии внешних сил получим $m \ddot{y} + ky = 0$,

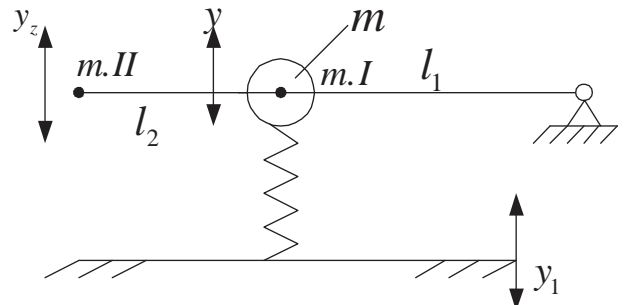


Рис. 2. Расчетная схема одномерной ВЗС, наблюдаемая в точке II

* - автор, с которым следует вести переписку.

Если определить, что $y_2 = y \frac{l_1 + l_2}{l_1}$, то

$$y = y_2 \frac{l_1}{l_1 + l_2},$$

а выражения для кинетической и потенциальной энергий запишутся

$$T = \frac{1}{2} \left(\dot{y}_2 - \frac{l_1 + l_2}{l_1} \dot{y}_2 \right)^2,$$

$$\Pi = \frac{1}{2} \left(y_2 \frac{l_1 + l_2}{l_1} \right)^2,$$

где l_1, l_2 – соответственно длины отрезков, определяющие положение т. т. I и II

II. Уравнение движения, если полагать, что внешняя сила P первоначально была приложена в т. I, принимает вид

$$m\ddot{y}_2 + ky_2 = P \frac{l_1}{l_1 + l_2}.$$

Можно отметить, что при выборе для наблюдения точки II частота собственных колебаний остается той же, но если полагать возбуждающим фактором силовое воздействие P , прикладываемое к точке II, то силовой фактор должен быть взят в виде

$$P_2 = P \frac{l_1}{l_1 + l_2}.$$

При этом должно соблюдаться условие сохранения равенства обоих моментов сил (P и P_2) относительно точки 0. Если в момент времени $t = 0$ свободные колебания возникают из-за начальной скорости $\dot{y}(0) = \dot{y}_0$ (в точке I), то при рассмотрении движения точки II необходимо учесть, что начальная скорость в точке II будет иной ($\dot{y}_2(0) = \dot{y}(0) \frac{l_1}{l_1 + l_2}$).

III. Если ввести обобщенную координату $\varphi = y/l_1$, то выражения для кинетической и потенциальной энергий принимают вид

$$T = \frac{1}{2} ml_1^2 \dot{\varphi}^2,$$

$$\Pi = \frac{1}{2} kl_1^2 \varphi^2,$$

а уравнение свободного движения ВЗС (рис. 2) записывается в форме

$$ml_1^2 \ddot{\varphi} + kl_1^2 \varphi = 0. \quad (2)$$

Будем полагать $y_2 = (l_1 + l_2)\varphi$, то есть выберем точкой наблюдения т. II, тогда

$$\frac{y_2}{l_1 + l_2} = \varphi. \quad (3)$$

После подстановки (3) в (2) получим

$$\frac{ml_1^2}{l_1 + l_2} \cdot \ddot{y}_2 + \frac{kl_1^2}{l_1 + l_2} y_2 = 0 \text{ или } m\ddot{y}_2 + ky_2 = 0, \quad (4)$$

что соответствует уравнению (4) без правой части. Таким образом, при выборе наблюдаемой координаты в виде φ положение т. I и II не оказывает влияния. По существу, рассматривается такая ситуация, когда расчетная схема на рис. 1 может рассматриваться как «базовая», и в ней точка наблюдения совпадает с точкой приложения усилия (перемещение этой точки определяет и величину потенциальной энергии). Если переходить к другой координате наблюдения, то воспринимаемые параметры движения объекта защиты по сравнению с параметрами состояния базовой системы будут другими. Они будут разными и зависят от того, каким образом выбираются новые точки наблюдения. В рассматриваемом случае, при выборе в качестве наблюдаемой обобщенной координаты угла φ (для чего используется соответствующая измерительная техника), вопрос о точках наблюдения снимается по определению, что предполагает необходимость использования совместимых форм описания кинематических и силовых факторов.

В системах с двумя степенями свободы ситуация складывается несколько иначе из-за того, что движение может описываться большим выбором систем координат. Рассмотрим расчетную схему ВЗС в виде балки (рис. 3), опирающейся на упругие опоры.

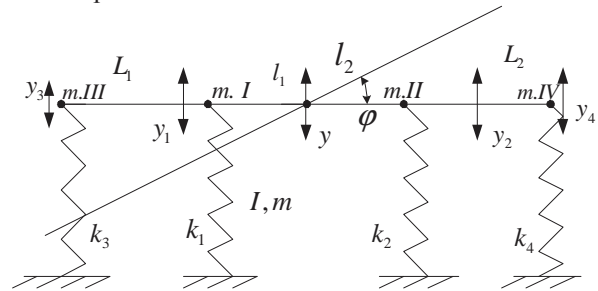


Рис. 3. Расчетная схема ВЗС с двумя степенями свободы

Для вывода уравнения движения ВЗС в системе координат y, φ запишем

$$T = \frac{1}{2} m\dot{y}^2 + \frac{1}{2} I\dot{\varphi}^2,$$

$$\Pi = \frac{1}{2} k_1 y_1^2 + \frac{1}{2} k_2 y_2^2 + \frac{1}{2} k_3 y_3^2 + \frac{1}{2} k_4 y_4^2,$$

где соответственно, масса и момент инерции балки; $k_1 \div k_4$ – жесткости упругих элементов в соответствующих точках. Примем ряд обозначений:

$$y_1 = y - l_1 \varphi, \quad y_2 = y + l_2 \varphi,$$

$$y = \frac{y_1 l_2 + y_2 l_1}{l_1 + l_2}, \quad \varphi = \frac{y_2 - y_1}{l_1 + l_2},$$

$$a = \frac{l_2}{l_1 + l_2}, \quad b = \frac{l_1}{l_1 + l_2}, \quad d = \frac{1}{l_1 + l_2}, \quad c_0 = \frac{1}{L_1 + L_2},$$

$$a_1 = \frac{L_2}{L_1 + L_2}, \quad b_1 = \frac{L_1}{L_1 + L_2}$$

При условии $k_3 = 0, k_4 = 0$:

$$T = \frac{1}{2}m(a^2\dot{y}_1 + 2ab\dot{y}_1\dot{y}_2 + b^2\dot{y}_2^2) + \frac{1}{2}d^2(\dot{y}_2^2 - 2\dot{y}_2\dot{y}_1 + \dot{y}_1^2)$$

$$\Pi = \frac{1}{2}k_1 y_1^2 + \frac{1}{2}k_2 y_2^2,$$

а уравнения движения принимают вид

$$\left. \begin{aligned} \ddot{y}_1(ma^2 + Id^2) + \ddot{y}_2(mab - Id^2) + k_1 y_1 &= 0 \\ \ddot{y}_1(mb^2 + Id^2) + \ddot{y}_2(mab - Id^2) + k_2 y_2 &= 0. \end{aligned} \right\} (5)$$

Учет $k_3 \neq 0, k_4 \neq 0$ требует учета соотношений

$$y_3 = y - L_1\varphi, y_4 = y + L_2\varphi, \text{ тогда}$$

$$\begin{aligned} \Pi &= \frac{1}{2}k_3(y^2 - 2yL_1\varphi + L_1^2\varphi^2) + \\ &+ \frac{1}{2}k_1(y^2 - 2yL_1\varphi + L_1^2\varphi^2) + \\ &+ \frac{1}{2}k_2(y^2 + 2L_2\varphi y + L_2^2\varphi^2) + \\ &+ \frac{1}{2}k_4(y^2 + 2yL_2\varphi + L_2^2\varphi^2), \end{aligned}$$

Введем в рассмотрение ряд соотношений

$$y = y_1 + l_1\varphi, y_3 = y_1 + \varphi l_1 - L_1\varphi = y_1 - \varphi(L_1 - l_1),$$

$$y_1 = y_3 + \varphi(L_1 - l_1), \text{ примем } a_0 = L_1 - l_1, \text{ тогда}$$

$$y_1 = y_3 + a_0\varphi, y = y_2 - l_2\varphi, y_4 = y_2 - l_2\varphi + L_2\varphi = y_2 + \varphi(L_2 - l_2),$$

$$y_2 = y_4 - \varphi(L_2 - l_2) = y_4 - b_0\varphi \text{ при } b_0 = L_2 - l_2.$$

Уравнения движения можно получить двумя способами.

I. Полагая $k_3 = 0, k_4 = 0$, в системе уравнений (5) используем соотношения

$$y_1 = y_3 + a_0\varphi, y_2 = y_4 - b_0\varphi,$$

$$\ddot{y}_1 = \ddot{y}_3 + a_0\ddot{\varphi}, \ddot{y}_2 = \ddot{y}_4 - b_0\ddot{\varphi}, \varphi = \frac{y_4 - y_3}{L_1 + L_2} = \frac{y_2 - y_1}{l_1 + l_2},$$

$$\varphi = c_0(y_4 - y_3), \ddot{\varphi} = c_0(\ddot{y}_4 - \ddot{y}_3).$$

Преобразуем уравнение (163) к виду

$$\left. \begin{aligned} (\ddot{y}_3 + a_0\ddot{\varphi})(ma^2 + Id^2) + \\ + (\ddot{y}_4 - b_0\ddot{\varphi})(mab - Id^2) + k_1(y_3 + a_0\varphi) &= 0 \\ (\ddot{y}_4 - b_0\ddot{\varphi})(mb^2 + Id^2) + \\ + (\ddot{y}_3 + a_0\ddot{\varphi})(mba - Id^2) + k_2(y_4 - b_0\varphi) &= 0 \end{aligned} \right\}$$

или

$$\left. \begin{aligned} [\ddot{y}_3 + a_0c_0(\ddot{y}_4 - \ddot{y}_3)](ma^2 + Id^2) + \\ + [\ddot{y}_4 - b_0c_0(\ddot{y}_4 - \ddot{y}_3)](mab - Id^2) + \\ + k_1[y_3 + a_0c_0(y_4 - y_3)] &= 0 \\ [\ddot{y}_4 - b_0c_0(\ddot{y}_4 - \ddot{y}_3)](mb^2 + Id^2) + \\ + [\ddot{y}_3 + a_0c_0(\ddot{y}_4 - \ddot{y}_3)](mab - Id^2) + \\ + k_2[y_4 - b_0c_0(y_4 - y_3)] &= 0 \end{aligned} \right\}$$

После некоторых упрощений получим

$$\left. \begin{aligned} \ddot{y}_3 \left[\begin{aligned} ma^2 + Id^2 - a_0c_0(ma^2 + Id^2) + \\ + b_0c_0(mab - Id^2) \end{aligned} \right] + \\ + \ddot{y}_4 \left[\begin{aligned} a_0c_0(ma^2 + Id^2) + mab - Id^2 - \\ - b_0c_0(mab - Id^2) \end{aligned} \right] + \\ + y_3 k_1 [1 - a_0c_0] + k_1 a_0 c_0 y_4 = 0 \\ \ddot{y}_4 \left[\begin{aligned} mb^2 + Id^2 - b_0c_0(mb^2 + Id^2) + \\ + a_0c_0(mab - Id^2) \end{aligned} \right] + \\ + \ddot{y}_3 \left[\begin{aligned} b_0c_0(mb^2 + Id^2) + mab - Id^2 - \\ - a_0c_0(mab - Id^2) \end{aligned} \right] + \\ + y_4 k_2 (1 - b_0c_0) + k_2 b_0 c_0 y_3 = 0 \\ \ddot{y}_3 [(1 - a_0c_0)(ma^2 + Id^2) + b_0c_0(mab - Id^2)] + \\ + \ddot{y}_4 [a_0c_0(ma^2 + Id^2) + (1 - b_0c_0)(mab - Id^2)] + \\ + k_1 y_3 (1 - a_0c_0) + y_4 k_1 a_0 c_0 = 0 \\ \ddot{y}_4 [(1 - b_0c_0)(mb^2 + Id^2) + a_0c_0(mab - Id^2)] + \\ + \ddot{y}_3 [(1 - a_0c_0)(mab - Id^2) + b_0c_0(mb^2 + Id^2)] + \\ + y_3 k_2 (1 - b_0c_0) + y_3 k_2 b_0 c_0 = 0 \end{aligned} \right\} (6)$$

Система уравнений (6) заметно сложнее уравнения (5), и ей соответствует структурная схема, показанная на рис. 4.

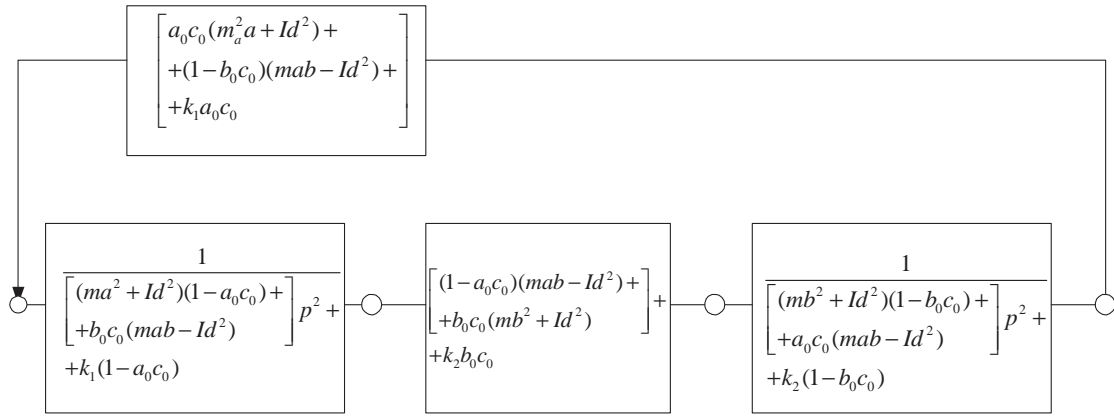


Рис. 4. Структурная схема системы координат наблюдения y_3, y_4 , где приняты обозначения

Уравнению (5) соответствует структурная схема, приведенная на рис. 5.

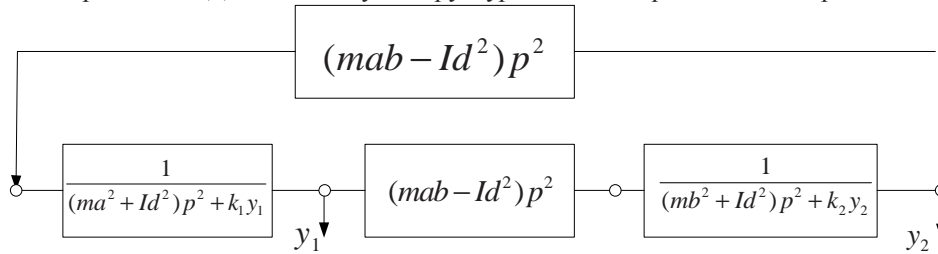


Рис. 5. Структурная схема системы (рис. 3) при $k_3 = k_4 = 0$ и отсутствии y_3, y_4

II. Получим уравнения состояния ВЗС, представленной на рис. 3, полагая, что

$$T = \frac{1}{2}m\dot{y}^2 + \frac{1}{2}I\dot{\varphi}^2,$$

где

$$y = \frac{y_3L_2 + y_4L_1}{L_1 + L_2}, \varphi = \frac{y_4 - y_3}{L_1 + L_2}, a_1 = \frac{L_2}{L_1 + L_2}, c_0 = \frac{1}{L_1 + L_2}$$

$$b_1 = \frac{L_1}{L_1 + L_2},$$

$$T = \frac{1}{2}m(a_1^2\dot{y}_3^2 + 2a_1b_1\dot{y}_3\dot{y}_4 + b_1^2\dot{y}_4^2) + \frac{1}{2}Ic_0^2(\dot{y}_4^2 - 2\dot{y}_4\dot{y}_3 + \dot{y}_3^2),$$

тогда

$$\Pi = \frac{1}{2}k_3y_3^2 + \frac{1}{2}k_4y_4^2 + \frac{1}{2}k_1(y_3 + a_0\varphi)^2 + \frac{1}{2}k_2(y_4 - b_0\varphi)^2$$

или

$$\Pi = \frac{1}{2}k_3y_3^2 + \frac{1}{2}k_4y_4^2 + \frac{1}{2}k_1 \left[y_3^2 + 2a_0c_0y_3(y_4 - y_3) + a_0^2c_0^2(y_4^2 - 2y_4y_3 + y_3^2) \right] + \frac{1}{2}k_2 \left[y_4^2 - 2y_4b_0c_0(y_4 - y_3) + b_0^2c_0^2(y_4^2 - 2y_4y_3 + y_3^2) \right]$$

Используя для вывода уравнения Лагранжа 2-го рода, получим

$$\left. \begin{aligned} \ddot{y}_3(ma_1^2 + Ic_0^2) + \ddot{y}_4(ma_1b_1 - Ic_0^2) + \\ + y_3(k_3 + k_1 - 2k_1a_0c_0 + k_1a_0^2c_0^2 + k_2b_0^2c_0^2) + \\ + y_4(k_1a_0c_0 - a_0^2c_0^2k_1 + k_2b_0c_0 - k_2b_0^2c_0^2) = 0 \\ \ddot{y}_4(mb_1^2 + Ic_0^2) + \ddot{y}_3(ma_1b_1 - Ic_0^2) + \\ + y_4(k_4 + k_1a_0^2c_0^2 + k_2 - 2k_2b_0c_0 + k_2b_0^2c_0^2) + \\ + y_3(k_1a_0c_0 - k_1a_0^2c_0^2 + k_2b_0c_0 - k_2b_0^2c_0^2) = 0 \end{aligned} \right\} (7)$$

Если принять в (7) $k_3 = k_4 = 0$, то

$$\ddot{y}_3(ma_1^2 + Ic_0^2) + \ddot{y}_4(ma_1b_1 - Ic_0^2) + y_3[k_1(1 - a_0c_0)^2 + k_2b_0^2c_0^2] + y_4[k_1a_0c_0(1 - a_0c_0) + k_2b_0c_0(1 - b_0c_0)] = 0 \quad (8)$$

$$\ddot{y}_4(mb_1^2 + Ic_0^2) + \ddot{y}_3(ma_1b_1 - Ic_0^2) + y_4[k_2(1 - b_0c_0)^2 + k_1a_0^2c_0^2] + y_3[k_1a_0c_0(1 - a_0c_0) + k_2b_0c_0(1 - b_0c_0)] = 0$$

На рис. 6 представлена структурная схема, соответствующая уравнению (8)

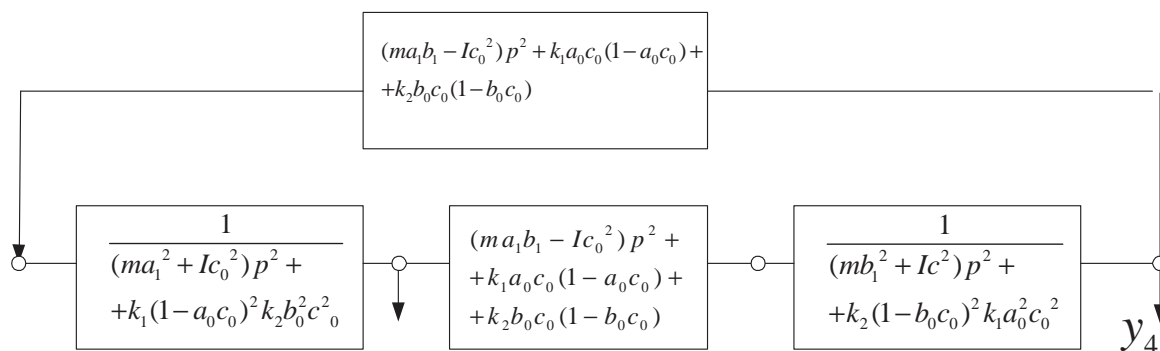


Рис. 6. Структурная схема, соответствующая схеме на рис. 3 при координатах наблюдения y_3, y_4

$$a_0 = L_1 - l_1, \quad b_0 = L_2 - l_2, \quad c_0 = \frac{1}{L_1 + L_2},$$

$$a_0c_0 = \frac{L_1 - l_1}{(L_1 + L_2)^2}, \quad b_0c_0 = \frac{L_2 - l_2}{(L_1 + L_2)^2},$$

если

$$l_1 = l_2 = l, \quad L_1 = L_2 = L, \quad a_0c_0 = \frac{L-l}{4L^2}; \quad b_0c_0 = \frac{L-l}{4L^2},$$

$$1 - a_0c_0 = 1 - \frac{L-l}{4L^2} = \frac{4L^2 - L + l}{4L^2} = \frac{3L^2 + l}{4L^2};$$

$$1 - b_0c_0 = \frac{3L^2 + l}{4L^2}.$$

Сопоставление структурных схем дает возможность отметить следующее.

1. При переходе к наблюдаемым координатам меняется характер связности между парциальными подсистемами: связь из инерционной превращается в инерционно-упругую.

2. При условии $ma_1b_1 \neq Ic_0^2$ возможно существование режима развязки парциальных систем

$$\omega^2 = \frac{k_1(a_0c_0 - a_0^2c_0^2) + k_2(b_0c_0 - b_0^2c_0^2)}{ma_1b_1 - Ic_0^2}.$$

3. Парциальные частоты систем в координатах y_1 и y_2

$$\omega_1^2 = \frac{k_1(l_1 + l_2)^2}{ml_2^2 + I};$$

$$\omega_2^2 = \frac{k_2(l_1 + l_2)^2}{ml_1^2 + I}.$$

Однако, используя координаты наблюдения, можно получить

$$\omega_1^2 = \frac{k_1(1 - a_0c_0)^2 + k_2b_0^2c_0^2}{ma_1^2 + Ic_0^2},$$

или

$$\omega_1^2 = \frac{k_1(L_2 + l_1)^2 + k_2(L_2 - l_2)^2}{mL_2^2 + I};$$

$$\omega_2^2 = \frac{k_2(1 - b_0c_0)^2 + k_1a_0^2c_0^2}{mb_1^2 + Ic_0^2}.$$

Или

$$\omega_2^2 = \frac{k_2(L_1 + l_2)^2 + k_1(L_1 - l_1)^2}{mL_1^2 + I}.$$

4. Возьмем отношение парциальных частот в базовой системе

$$\frac{\omega_1^2}{\omega_2^2} = \frac{k_1(l_1 + l_2)^2}{(ml_2^2 + I)} \cdot \frac{(ml_1^2 + I)}{k_2(l_1 + l_2)^2} = \frac{k_1}{k_2} \frac{ml_1^2 + I}{ml_2^2 + I}$$

В системе наблюдения y_3 и y_4 , имеем

$$\frac{\omega_1^2}{\omega_2^2} = \frac{[k_1(1 - a_0c_0)^2 + k_2b_0^2c_0^2](mb_1^2 + Ic_0^2)}{(ma_1^2 + Ic_0^2)[k_2(1 - b_0c_0)^2 + k_1a_0^2c_0^2]}$$

или

$$R = \frac{\omega_1^2}{\omega_2^2} = \frac{[k_1(L_2 + l_1)^2 + k_2(L_2 - l_2)^2](mL_1^2 + I)}{(mL_2^2 + I)[k_2(L_1 + l_2)^2 + k_1(L_1 - l_1)^2]}.$$

Если $l_1 = l_2 = l, L_1 = L_2 = L$, то

$$R = \frac{[k_1(L + l)^2 + k_2(L - l)^2](mL^2 + I)}{(mL^2 + I)[k_2(L + l)^2 + k_1(L - l)^2]}.$$

В то же время для базовой системы

$$R = \frac{k_1(2l)^2}{(ml^2 + I)} \cdot \frac{(ml^2 + I)}{k_2(2l)^2} = \frac{k_1}{k_2}.$$

То есть, параметры системы, определяемые из сопоставления представлений о движении базовой системы и системы в наблюдаемых координатах, будут различными.

IV. Рассмотрим особенности математических моделей базовой системы в виде расчетной схемы на рис. 7, где z_1, z_2 – внешние кинематические воздействия.

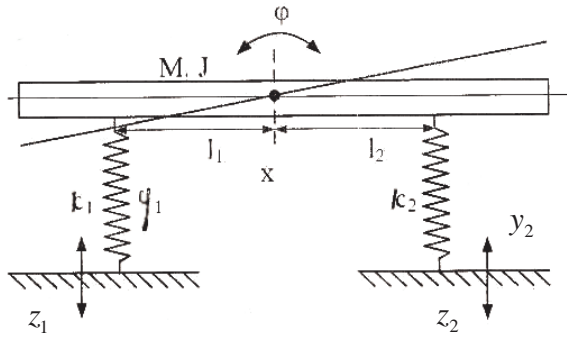


Рис. 7. Расчетная схема ВЗС (базовая) с кинематическими внешними воздействиями

Будем полагать, что для описания движения могут быть использованы следующие системы координат:

1. y_1 и y_2 (координаты в абсолютном движении);
2. y_1 и $y_2 = y_1 + (l_1 + l_2)\phi$ (координаты y_1 в абсолютном движении и размах колебаний);
3. y и ϕ (координаты центра масс и угловые движения относительно центра масс);
4. y_2 и ϕ (координата y_2 в абсолютном движении, т.е. по отношению к неподвижной системе координат, и координата углового движения);
5. y_1 и y ;
6. y_1 и ϕ .

При рассмотрении y и ϕ в качестве обобщенных координат кинетическая и потенциальная энергии имеют вид:

$$T = \frac{1}{2}M\dot{y}^2 + \frac{1}{2}I\dot{\phi}^2,$$

$$\Pi = \frac{1}{2}k_1(y_1 - z_1)^2 + \frac{1}{2}k_2(y_2 - z_2)^2$$

Полагая, что $y_1 = y - l_1\phi$, $y_2 = y + l_2\phi$, найдем уравнения движения

$$M\ddot{y} + y(k_1 + k_2) + \phi(k_2l_2 - k_1l_1) = k_1z_1 + k_2z_2, \quad (9)$$

$$M\ddot{\phi} + \phi(k_1l_1^2 + k_2l_2^2) + y(k_2l_2 - k_1l_1) = k_2l_2z_2 - k_1l_1z_1.$$

В матричной форме уравнение (9) имеет вид

$$A\ddot{X} + BX = CZ,$$

где

$$A = \begin{vmatrix} M & 0 \\ 0 & I \end{vmatrix},$$

$$B = \begin{vmatrix} k_1 + k_2 & k_2l_2 - k_1l_1 \\ k_2l_2 - k_1l_1 & k_1l_1^2 + k_2l_2^2 \end{vmatrix}, \quad C = \begin{vmatrix} k_1 & k_2 \\ -k_1l_1 & k_2l_2 \end{vmatrix},$$

$$X = \begin{vmatrix} y \\ \phi \end{vmatrix}.$$

Определив матричное строение, перейдем к структурной схеме для данной системы, она показана на рис. 8.

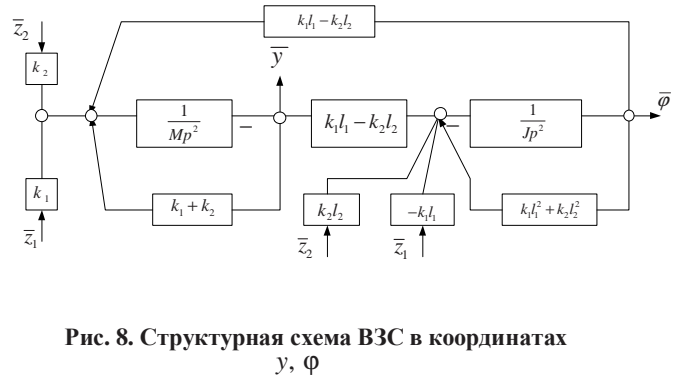


Рис. 8. Структурная схема ВЗС в координатах y, ϕ

Пусть $y_1 = y_2 = y, z_1 = z_2 = z$, что позволяет находить упрощенным образом передаточные функции. Кроме того, такие системы при выполнении условий симметрии в перекрестных связях дают возможность делать парциальные системы независимыми.

Система обобщенных координат y_1, y_2 .

При выборе системы координат y_1, y_2 для кинетической и потенциальной энергии выражения будут иметь вид

$$T = \frac{1}{2}M\dot{y}^2 + \frac{1}{2}J\dot{\phi}^2,$$

$$\Pi = \frac{1}{2}k_1(y_1 - z_1)^2 + \frac{1}{2}k_2(y_2 - z_2)^2,$$

используя соотношения

$$\dot{\phi} = \frac{\dot{y}_2 - \dot{y}_1}{l_1 + l_2} = \dot{y}_2d - \dot{y}_1d,$$

где $d = \frac{1}{l_1 + l_2}$; соответственно,

$$\dot{y} = \frac{\dot{y}_1l_2 + \dot{y}_2l_1}{l_1 + l_2} = \dot{y}_1a + \dot{y}_2b,$$

где $a = \frac{l_2}{l_1 + l_2}, b = \frac{l_1}{l_1 + l_2}$.

Дифференциальные уравнения движения можно записать

$$\left. \begin{aligned} (ma^2 + Id^2)\ddot{y}_1 + \ddot{y}_2(mab - Id^2) + k_1y_1 &= k_1z_1 \\ (mb^2 + Id^2)\ddot{y}_2 + (mab - Id^2)\ddot{y}_1 + k_2y_2 &= k_2z_2 \end{aligned} \right\}.$$

Матрицы A, B, C для этого случая будут иметь вид

$$A = \begin{vmatrix} ma^2 + Id^2 & mab - Id^2 \\ mab - Id^2 & mb^2 - Id^2 \end{vmatrix}; \quad B = \begin{vmatrix} k_1 & 0 \\ 0 & k_2 \end{vmatrix};$$

$$C = \begin{vmatrix} k_1 & 0 \\ 0 & k_2 \end{vmatrix}.$$

Получим структурную схему, как показано на рис. 9.

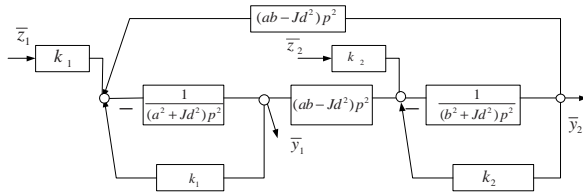


Рис. 9. Структурная схема ВЗС в системе координат y_1, y_2

Рассмотрим систему координат y_1, ϕ , где принят ряд соотношений

$$y_2 = y_1 + (l_1 + l_2)\phi, \quad y = y_1 + l_1\phi.$$

Записав выражения для кинетической и потенциальной энергии в виде:

$$T = \frac{1}{2}M(\dot{y}_1 + l_1\dot{\phi})^2 + \frac{1}{2}J\dot{\phi}^2;$$

$$\Pi = \frac{1}{2}k_1(y_1 - z_1)^2 + \frac{1}{2}k_2[(y_1 - z_2) + (l_1 + l_2)\phi]^2,$$

получим систему дифференциальных уравнений

$$\begin{cases} M\ddot{y}_1 + Ml_1\ddot{\phi} + k_1y_1 + k_2y_1 + k_2(l_1 + l_2)\phi = \\ = k_1z_1 + k_2z_2, \\ Ml_1\ddot{y}_1 + (Ml_1^2 + J)\ddot{\phi} + k_2(l_1 + l_2)y_1 + k_2(l_1 + l_2)^2\phi = \\ = k_2(l_1 + l_2)z_2, \end{cases}$$

для которых матрицы инерционных, упругих и силовых параметров можно представить в форме:

$$A = \begin{vmatrix} M & Ml_1 \\ Ml_1 & Ml_1^2 + J \end{vmatrix};$$

$$B = \begin{vmatrix} k_1 + k_2 & k_2(l_1 + l_2) \\ k_2(l_1 + l_2) & k_2(l_1 + l_2)^2 \end{vmatrix}, \quad C = \begin{vmatrix} k_2 & k_2 \\ 0 & k_2(l_1 + l_2) \end{vmatrix}.$$

Структурная схема будет выглядеть следующим образом (рис. 10):

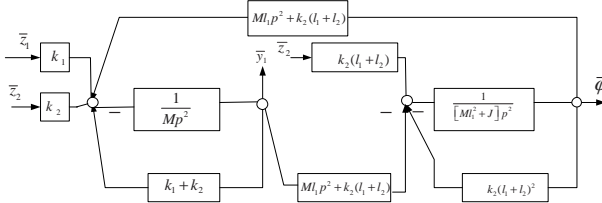


Рис. 10. Структурная схема ВЗС в обобщенных координатах y_1, ϕ

Рассмотрим систему координат y_2, ϕ , для которой $y_1 = y_2 + (l_1 + l_2)\phi$; по аналогии с предыдущим $y = \dot{y}_2 + l_2\phi$; выражения для кинетической и потенциальной энергии будут выглядеть следующим образом

$$T = \frac{1}{2}M(\dot{y}_2 + l_2\dot{\phi})^2 + \frac{1}{2}J\dot{\phi}^2;$$

$$\Pi = \frac{1}{2}k_1[(y_2 - z_1) + (l_1 + l_2)\phi]^2 + \frac{1}{2}k_2(y_2 - z_2)^2,$$

откуда найдем систему дифференциальных уравнений

$$\begin{cases} M\ddot{y}_2 + Ml_2\ddot{\phi} + (k_1 + k_2)y_2 + k_1(l_1 + l_2)\phi = \\ = k_1z_1 + k_2z_2, \\ Ml_2\ddot{y}_2 + (Ml_2^2 + J)\ddot{\phi} + k_1(l_1 + l_2)y_2 + k_1(l_1 + l_2)^2\phi = \\ = k_1(l_1 + l_2)z_1. \end{cases}$$

Соответствующие матрицы коэффициентов матричного уравнения имеют вид

$$A = \begin{vmatrix} M & Ml_2 \\ Ml_2 & Ml_2^2 + J \end{vmatrix};$$

$$B = \begin{vmatrix} 0 & k_1(l_1 + l_2) \\ k_1(l_1 + l_2) & k_1(l_1 + l_2)^2 \end{vmatrix},$$

$$C = \begin{vmatrix} k_1 & k_2 \\ k_1(l_1 + l_2) & 0 \end{vmatrix}.$$

Структурная схема будет выглядеть, как показано на рис. 11.

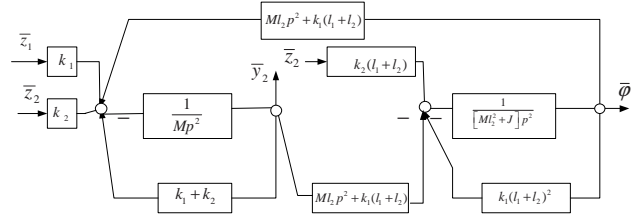


Рис. 11. Структурная схема ВЗС в системе координат y_2, ϕ

Рассмотрим систему координат y, ϕ и введем ряд соотношений:

$$\phi = \frac{y_2 - y_1}{l_1 + l_2}; \quad x = \frac{y_1l_2 + y_2l_1}{l_1 + l_2}; \quad y_2 = y + l_2\phi;$$

$$y_1 = y - l_1\phi, \quad \phi = \frac{y - y_1}{l_1}.$$

Выражения для кинетической и потенциальной энергии

$$T = \frac{1}{2}M\dot{y}^2 + \frac{1}{2}J\dot{\phi}^2;$$

$$\begin{aligned} \Pi &= \frac{1}{2}k_1(y_2 - z_1) + \frac{1}{2}k_2(y + l_2\phi - z_2)^2 = \\ &= \frac{1}{2}k_1(y_1 - z_1)^2 + \frac{1}{2}\frac{k_2}{l_1}[y(l_1 + l_2) - y_1l_2z_2]^2. \end{aligned}$$

Отсюда получим систему дифференциальных уравнений

$$\begin{cases} \ddot{y} \left(m + \frac{I}{l_1^2} \right) - \ddot{y}_1 \frac{I}{l_1^2} + y \left[k_2 \frac{(l_1 + l_2)^2}{l_1^2} \right] - \\ - \frac{k_2(l_1 + l_2)}{l_1} l_2 y_1 = k_2 z_2 \left(\frac{l_1 + l_2}{l_1} \right); \\ -\ddot{y} \frac{I}{l_1^2} + \frac{I}{l_1^2} \ddot{y}_1 + y_1 \left(k_1 + k_2 \frac{l_2^2}{l_1^2} \right) - \\ - y \frac{k_2}{l_1^2} (l_1 + l_2) l_2 = k_1 z_1 + k_2 z_2 \frac{l_1}{l_2}. \end{cases}$$

Соответствующие матрицы A, B, C имеют вид

$$A = \begin{vmatrix} m + \frac{I}{l_1^2} & -\frac{I}{l_1^2} \\ -\frac{I}{l_1^2} & \frac{I}{l_1^2} \end{vmatrix};$$

$$B = \begin{vmatrix} k_2 \frac{(l_1 + l_2)^2}{l_1^2} & -k_2 \frac{(l_1 + l_2)l_2}{l_1} \\ -k_2 \frac{(l_1 + l_2)l_2}{l_1^2} & k_1 + k_2 \frac{l_2^2}{l_1^2} \end{vmatrix};$$

$$C = \begin{vmatrix} 0 & k_2 \frac{(l_1 + l_2)}{l_1} \\ k_1 & k_2 \frac{l_1}{l_2} \end{vmatrix}.$$

Структурная схема ВЗС приведена на рис. 12.

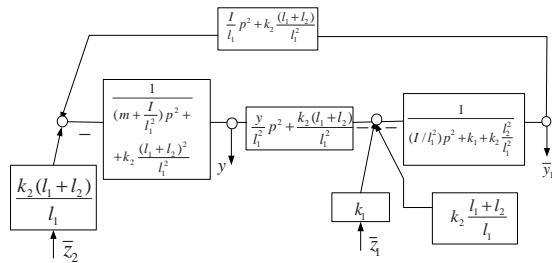


Рис. 12. Структурная схема ВЗС в системе координат y, y_1

Выбор системы обобщенных координат определяет оценку состояния ВЗС, в частности, парциальные частоты будут меняться так же, как и характер связей между парциальными системами.

Таким образом, выбор точек наблюдения за состоянием виброзащитных систем, так же, как и системы обобщенных координат, имеет для оценки динамического состояния ВЗС большое значение, поскольку в каждой конкретной ситуации наблюдения могут быть получены различные сведения и о характере перекрестных связей, и о значениях парциальных частот.

Литература

1. Елисеев, С. В. Мехатронные подходы в задачах вибрационной защиты машин и оборудования / С. В. Елисеев, Р. Ю. Упырь // Современные технологии. Системный анализ. Моделирование : журн. Иркут. гос. ун-та путей сообщения. – 2008. Вып. 4 (20). – С. 8-16.
2. Елисеев, С. В. Динамический синтез в обобщенных задачах виброзащиты и виброизоляции технических объектов : моногр. / С. В. Елисеев, Ю. Н. Резник, А. П. Хоменко, А. А. Засядко. Иркутск : Изд-во Иркут. гос. ун-та, 2008. – 523 с.